

# Инварианты почти вложений графов в плоскость и комбинаторная топология конфигурационных пространств

Э. АЛКИН, Е. БОРДАЧЕВА, А. МИРОШНИКОВ, А. СКОПЕНКОВ

*Доклад по материалу*

[https://old.mccme.ru//circles//oim/alm\\_emb\\_jourus.pdf](https://old.mccme.ru//circles//oim/alm_emb_jourus.pdf)

Изображения без самопересечений графов на плоскости (т.е. вложения или плоские графы) активно изучаются. Также интересны изображения графов, имеющие «умеренные» самопересечения, например, *почти вложения*. Их изучение находится на стыке комбинаторной геометрии, компьютерной науки, геометрической и алгебраической топологии.

Мы определим целочисленные инварианты почти вложений: число оборотов, циклическое и триодическое числа Ву. Мы построим почти вложения, реализующие некоторые значения таких инвариантов. Имеются гипотезы и нерешенная проблема.

# 1. ЧИСЛО ОБОРОТОВ

Везде, кроме §7, рассматриваемые точки и ломаные расположены на плоскости.

**Числом оборотов**  $w(l) = w(l, O)$  замкнутой ломаной  $l = A_1 \dots A_m$  вокруг не лежащей на ней точки  $O$  называется количество оборотов при вращении вектора, начало которого находится в точке  $O$ , а конец обходит ломаную в заданном порядке вершин. Строго говоря,

$$2\pi \cdot w(l) = 2\pi \cdot w(l, O) :=$$

$$\angle A_1 O A_2 + \angle A_2 O A_3 + \dots + \angle A_{m-1} O A_m + \angle A_m O A_1$$

— сумма ориентированных углов.

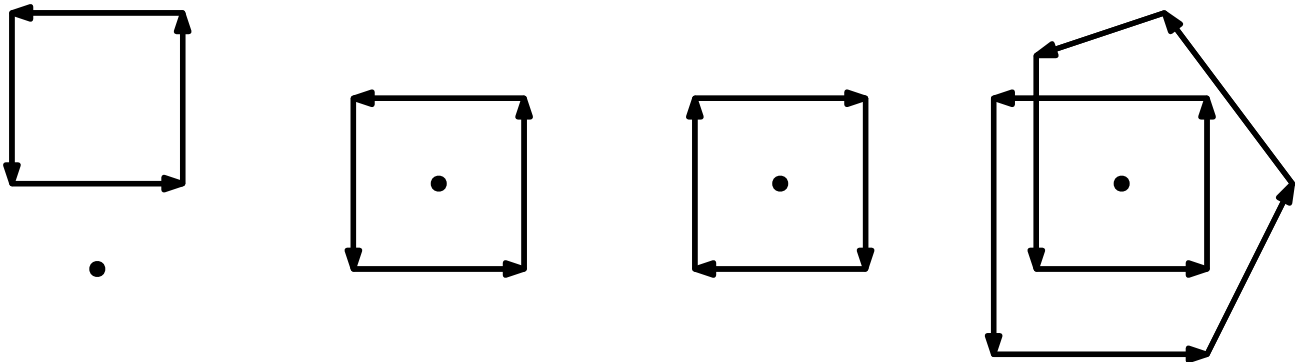


Рис. 1.1. Числа оборотов равны 0, +1, -1, +2

**Пример 1.1.** Для любых целого числа  $n$  и точки  $O$  существует замкнутая ломаная, число оборотов которой вокруг  $O$  равно  $n$ .

**Утверждение 1.2.** Число оборотов  $w(A_1 \dots A_m)$  является целым числом.

Следующие обозначение и результаты будут полезны.

Пусть  $l = A_1 \dots A_m$  — ломаная, не проходящая через точку  $O$ . Определим действительное число  $w'(l) = w'(l, O)$  формулой

$$2\pi \cdot w'(l) = 2\pi \cdot w'(l, O) := \\ \angle A_1 O A_2 + \angle A_2 O A_3 + \dots + \angle A_{m-1} O A_m.$$

Очевидно, что

- $w'(A_1 \dots A_m A_1) = w(A_1 \dots A_m)$ ;
  - $w'(A_1 \dots A_m) = w'(A_1 \dots A_j) + w'(A_j \dots A_m)$
- для каждого  $j = 1, \dots, m$ ;
- если точки  $A_2, \dots, A_{m-1}$  лежат внутри угла  $\angle A_1 O A_m$ , то  $2\pi w'(A_1 \dots A_m) = \angle A_1 O A_m$ .

**Утверждение 1.3.** *Имеем*

$\angle A_1 O A_m = 2\pi w'(A_1 \dots A_m) + 2\pi n$  для некоторого целого  $n$ .

Обозначим через  $l^{-1}$  ломаную, полученную из ломаной  $l$  прохождением в противоположном порядке. Очевидно, что  $w'(l) = -w'(l^{-1})$  для любой точки  $O \notin l$ .

Конкатенацией ломаных  $l_1 = A_1 \dots A_m C$  и  $l_2 = C B_1 \dots B_k$  называется ломаная

$$l_1 l_2 := A_1 \dots A_m C B_1 \dots B_k.$$

Конкатенацией замкнутых ломаных  $l_1 = A_1 \dots A_m C$  и  $l_2 = B_1 \dots B_k C$  называется замкнутая ломаная

$$l_1 l_2 := A_1 \dots A_m C B_1 \dots B_k C.$$

В этих обозначениях  $w'(l_1 l_2) = w'(l_1) + w'(l_2)$  для любых точки  $O$  и ломаных  $l_1, l_2$ , не проходящих через  $O$ .

Для построения примеров в этом тексте не нужны сложные картинки — достаточно *простых* преобразований *простых* картинок. Например, полезно преобразование на рисунке 1.2. На этом и других рисунках мы изображаем *кривыми* ломаные с большим числом звеньев. Вершины ломаной расположены на кривой в порядке, обозначенном стрелками.

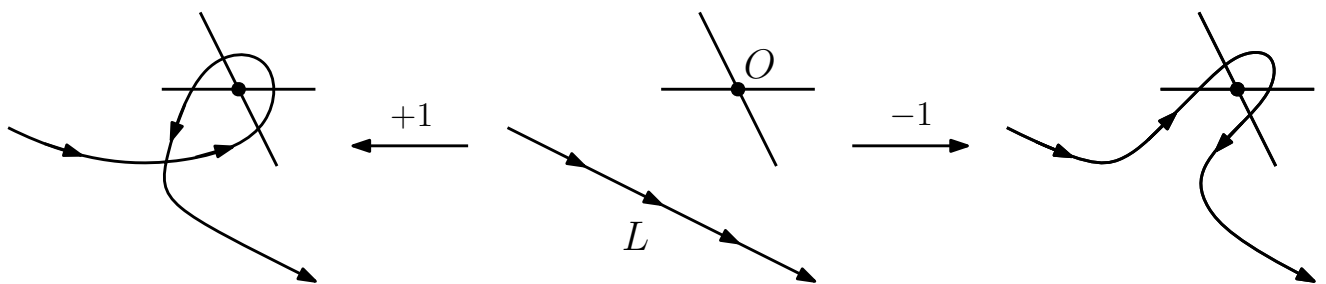


Рис. 1.2. «Пальцевые движения» ломаной  $l$  вокруг точки  $O$ : положительное (слева), отрицательное (справа)

## 2. ЧИСЛА ОБОРОТОВ ИЗОБРАЖЕНИЙ ГРАФОВ

Говоря нестрого, граф планарен, если его можно нарисовать «без самопересечений» на плоскости. Строго говоря, граф называется *планарным*, если существует

(1) набор точек плоскости, соответствующих вершинам,

(2) вместе с набором (незамкнутых) ломаных на плоскости, каждая из которых соединяет те пары из набора точек, которые соответствуют парам смежных вершин графа,

(3) причем ломаные несамопересекающиеся, и никакая из ломаных не пересекает внутренность другой ломаной.

Обозначим через

- $[n]$  множество  $\{1, 2, \dots, n\}$ ;
- $K_n$  полный граф на множестве  $[n]$  вершин;
- $K_{m,n}$  полный двудольный граф с долями  $[m]$  и  $[n]'$  (мы обозначаем через  $A'$  копию множества  $A$ ).

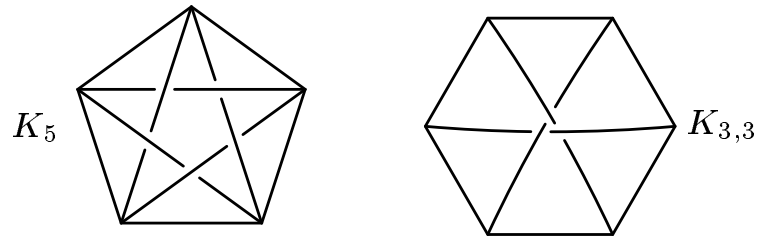


Рис. 2.1. Непланарные графы  $K_5$  и  $K_{3,3}$

Мы рассматриваем изображения графов на плоскости, при которых ребра изображаются ломаными (и допускаются пересечения этих ломаных). Строго говоря, **отображением** (кусочно-линейным)  $f : K \rightarrow \mathbb{R}^2$  графа  $K$  в плоскость называется

(1) набор точек плоскости, соответствующих вершинам,

(2) вместе с набором (незамкнутых) ломаных на плоскости, каждая из которых соединяет те пары из набора точек, которые соответствуют парам смежных вершин графа.

(Это то же, что (1) и (2) из определения планарности.)

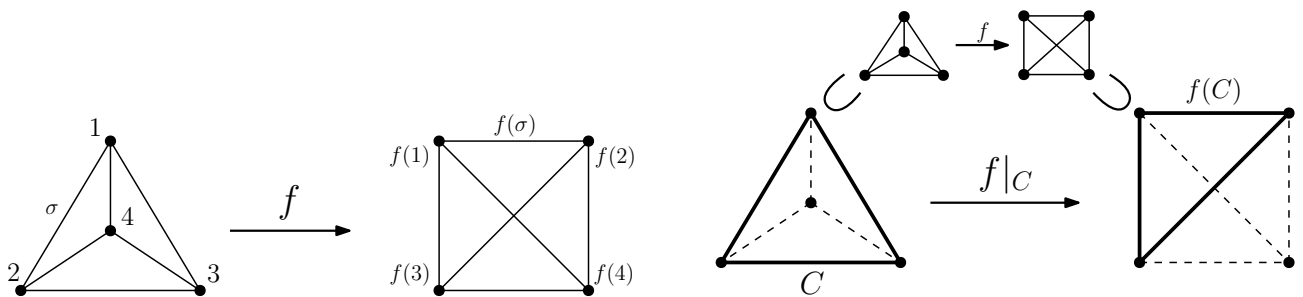


Рис. 2.2. Отображение  $f : K_4 \rightarrow \mathbb{R}^2$  (слева); образ  $f(C)$  и сужение  $f|_C$  (справа)

**Образ**  $f(\sigma)$  ребра  $\sigma$  (при отображении  $f$ ) — это объединение отрезков соответствующей ломаной. **Образ** набора ребер — это объединение образов всех ребер из набора.

**Сужение**  $f|_{ab}$  на ориентированное ребро  $ab$  — это соответствующая ломаная с началом  $f(a)$  и концом  $f(b)$ . Ориентированный цикл в графе обозначается перечислением его вершин в порядке их следования (без запятых). **Сужением**  $f|_C : C \rightarrow \mathbb{R}^2$  на ориентированный цикл  $C = v_1 \dots v_n$  в графе  $K$  называется замкнутая ломаная  $f|_{v_1v_2} \dots f|_{v_{n-1}v_n} f|_{v_nv_1}$  (рисунок 2.2).

Для вершины  $v$  и ориентированного цикла  $C$  в графе  $K$ , таких что  $f(v) \notin f(C)$ , положим

$$w_f(C, v) := w(f|_C, f(v)).$$

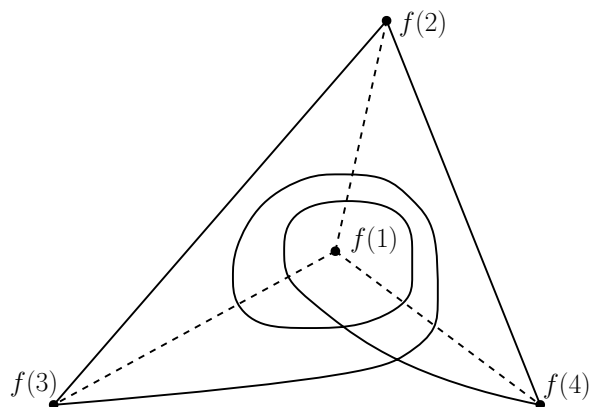


Рис. 2.3. Отображение  $f : K_4 \rightarrow \mathbb{R}^2$ , такое что  $w_f(234, 1) = 3$

### 3. ПОЧТИ ВЛОЖЕНИЯ: ОПРЕДЕЛЕНИЕ

Одно из доказательств непланарности графа  $K_5$  дает следующий результат.

**Теорема 3.1** (Ханани-Татт; ван Кампен). *Для любого отображения  $K_5 \rightarrow \mathbb{R}^2$  существуют два несмежных ребра, образы которых пересекаются.*

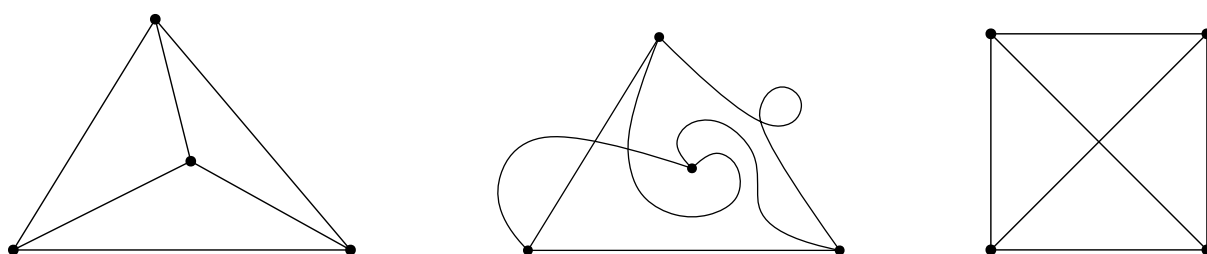


Рис. 3.1. Вложение, почти вложение и отображение (изображение), которое не является почти вложением

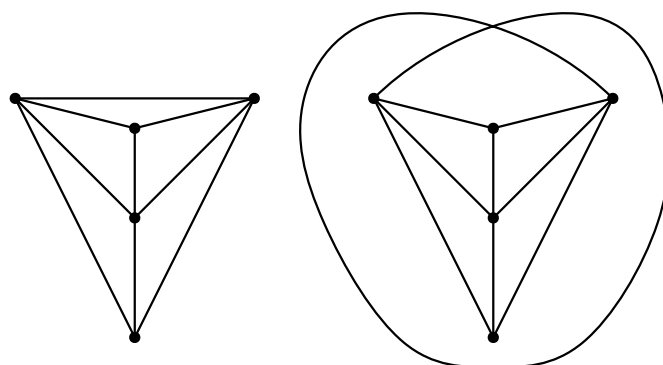


Рис. 3.2. Вложение и почти вложение графа  $K_5$  без ребра

Отображение  $f : K \rightarrow \mathbb{R}^2$  графа  $K$  называется **почти вложением**, если  $f(\alpha) \cap f(\beta) = \emptyset$  для любых двух несмежных симплексов (т.е. вершин и ребер)  $\alpha, \beta \subset K$ .

Т.е. если

- (i) образы несмежных ребер не пересекаются,
- (ii) образ любой вершины не лежит на образе никакого ребра, несмежного с этой вершиной,
- (iii) образы различных вершин различны.

Теорема 3.1 означает, что не существует почти вложения графа  $K_5$  в плоскость.

**Замечание 3.2.** Этот текст касается в первую очередь *инвариантов* почти вложений, а не проблем их *существования*. Поэтому мы сохраняем в определении свойства (ii, iii), выполнения которых можно добиться достаточно малым шевелением отображения, с сохранением свойства (i). *Если граф допускает почти вложение в плоскость, то граф планарен* (доказательство нетривиально). Однако существуют значения, реализуемые как инвариант некоторого почти вложения, но не реализуемые никаким вложением.

Почти вложения естественным образом возникают и применяются в топологической теории графов, в комбинаторной геометрии, в топологической комбинаторике и при изучении вложений (графов в поверхности и гиперграфов в многомерные евклидовы пространства).

## 4. ОСНОВНЫЕ РЕЗУЛЬТАТЫ: ЧИСЛА ОБОРОТОВ ПОЧТИ ВЛОЖЕНИЙ ГРАФОВ

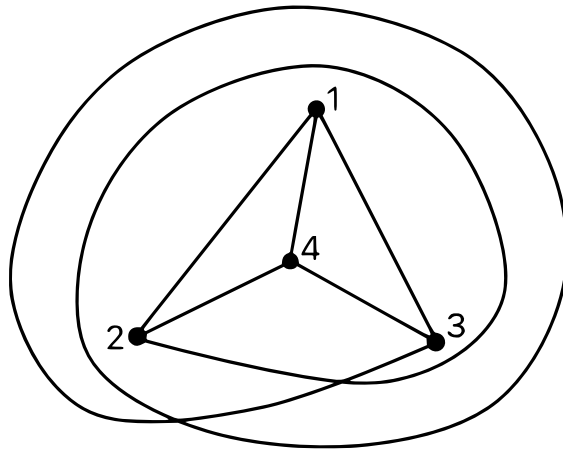


Рис. 4.1. Почти вложение  $f : K_4 \rightarrow \mathbb{R}^2$ , такое что  $w_f(123, 4) = 3$

Для почти вложения  $f : K_4 \rightarrow \mathbb{R}^2$  напомним, что  $w_f(C, v) := w(f|_C, f(v))$  для вершины  $v$  и ориентированного цикла  $C$ , и обозначим  $W_f := -w_f(234, 1) + w_f(134, 2) - w_f(124, 3) + w_f(123, 4)$ .

**Теорема 4.1.** *Для любого почти вложения  $f : K_4 \rightarrow \mathbb{R}^2$  число  $W_f$  нечетно.*

Аналог теоремы 4.1 для вложений вместо почти вложений доказывается проще (он близок к теореме Жордана), а для отображений — неверен.

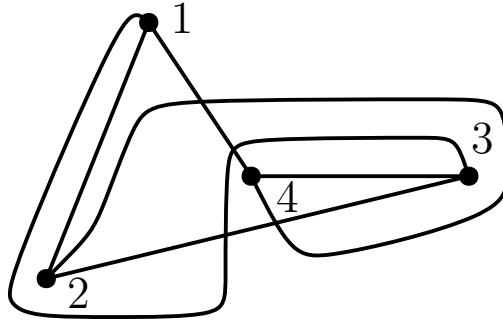


Рис. 4.2. (Е. Морозов) Почти вложение  $f : K_4 \rightarrow \mathbb{R}^2$ , такое что  $W_f = 3 \neq \pm 1$

**Гипотеза 4.2.** [ср. работы Э. Алкина и А. Ми-рошникова, а также А. Лазарева] Для любых целых чисел  $n_1, n_2, n_3, n_4$ , сумма которых нечетна, существует почти вложение  $f : K_4 \rightarrow \mathbb{R}^2$ , такое что  $w_f(C_j, j) = n_j$  для каждого  $j \in [4]$ :

$$\begin{aligned} w_f(234, 1) &= n_1, & w_f(134, 2) &= n_2, \\ w_f(124, 3) &= n_3, & w_f(123, 4) &= n_4. \end{aligned}$$

К решению гипотезы 4.2 для чисел, знакопеременная сумма которых равна  $\pm 1$ , подводит преобразование на рисунке 4.3.

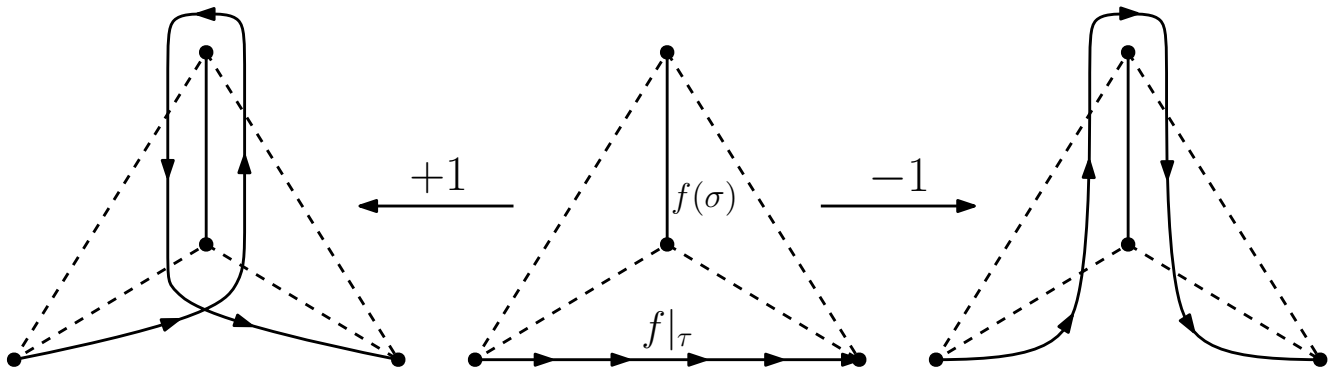


Рис. 4.3. «Пальцевые движения» ломаной  $f|_\tau$  вокруг отрезка  $f(\sigma)$ : положительное (слева) и отрицательное (справа)

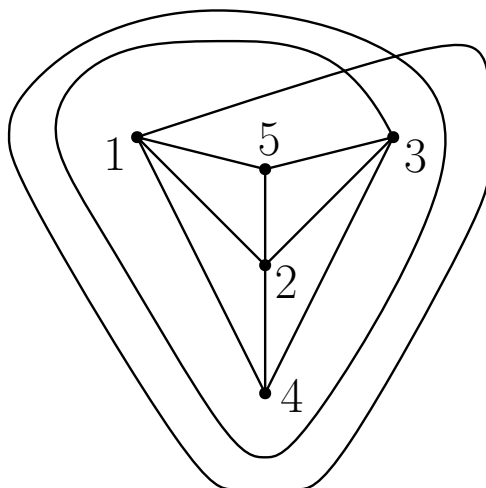


Рис. 4.4. Почти вложение  $f : K_5 - 45 \rightarrow \mathbb{R}^2$ , такое что  $w_f(123, 5) = 3$

**Теорема 4.3** (ср. теорему 4.1 и гипотезу 4.2).  
*Для любого почти вложения  $f : K_5 - 45 \rightarrow \mathbb{R}^2$  имеем*

- (a)  $w_f(123, 4) - w_f(123, 5) \equiv 1 \pmod{2}$ ;
- (b)  $w_f(123, 4) - w_f(123, 5) = \pm 1$ .

Пункт (а) несложен и хорошо известен. Его аналог для отображений неверен. Аналог пункта (b) для вложений вместо почти вложений является более простым (он близок к теореме Жордана). Пункт (b) является недавним нетривиальным результатом Тимура Гараева.

**Задача 4.4.** Возьмем ребро  $ab$  графа  $K_{3,3}$ . Обозначим через  $C = C_{ab}$  произвольно ориентированный цикл  $K_{3,3} - a - b$  длины 4. Для любого почти вложения  $f : K_{3,3} - ab \rightarrow \mathbb{R}^2$  имеем

(а)  $w_f(C, a) - w_f(C, b) \equiv 1 \pmod{2}$ ;

(b) (гипотеза)  $w_f(C, a) - w_f(C, b) = \pm 1$ .

**Задача 4.5** (загадка). Для почти вложения  $f : K \rightarrow \mathbb{R}^2$  графа  $K$  рассмотрим набор целых чисел  $w_f(C, v)$ , где  $v \in K$  — вершина, а  $C$  — ориентированный цикл в  $K - v$ . Опишите наборы, реализуемые почти вложениями  $f : K \rightarrow \mathbb{R}^2$ . Ответ для случая  $K = K_4$  дается теоремой 4.1 и гипотезой 4.2. Ответ интересен даже когда  $K$  есть  $K_5 - 45$ , граф куба, граф октаэдра.

Возможно, это описание не имеет красивой формулировки. Тогда интересен алгоритм, который по набору целых чисел (соответствующих парам  $(C, v)$ ) выясняет, реализуется ли этот набор некоторым почти вложением  $f : K \rightarrow \mathbb{R}^2$ .

**Замечание 4.6** (мотивировки). *Гиперграфы* — многомерные аналоги графов: ребрами могут быть не только двухэлементные, но и любые подмножества вершин. Классическая задача топологии, комбинаторики и компьютерной науки — нахождение критериев (и алгоритмов) реализуемости гиперграфов в евклидовом пространстве данной размерности  $d$ .

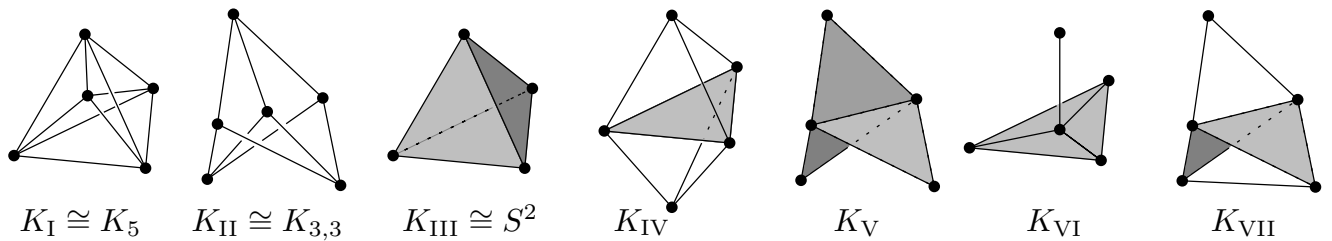


Рис. 4.5. Двумерные гиперграфы, не вложимые в плоскость

Такой критерий получен классиками топологии в 1930-1960-е гг. для  $2d \geq 3k + 3$ , где  $k$  — размерность гиперграфа. Основанный на этом критерии полиномиальный алгоритм распознавания реализуемости получен в 2013. Алгоритмическая неразрешимость для  $2d < 3k + 2$  анонсирована в 2019 году на конференции в Обервольфахе (Марек Филаковский, Ульрих Вагнер и Стефан Жечев). Дыру нашел в 2020 году Аркадий Скопенков (она признана авторами). Не было доказано, что в многомерном аналоге для *вложений* теоремы 4.3.b (и примера 7.2.a) некоторый коэффициент зацепления равен  $\pm 1$ .

В 2020 году Роман Карасев и А. Скопенков показали, что для *почти вложений* этот коэффициент зацепления может принимать любое нечетное значение. Их гипотеза об аналогичном результате для графов на плоскости опровергнута в 2023 году Тимуром Гараевым, см. теорему 4.3.b.

## 5. ТРИОДИЧЕСКОЕ ЧИСЛО ВУ

Определим новые инварианты, и интересные сами по себе, и полезные для изучения числа оборотов.

Назовем тройку ломаных  $l_1, l_2, l_3$ , соединяющих точку  $O$  с точками  $A_1, A_2, A_3$  соответственно, **триодической**, если  $A_i \notin l_j$  для всех  $i \neq j$ . (Другими словами, если ломаные образуют почти вложение  $f : K_{3,1} \rightarrow \mathbb{R}^2$ .)

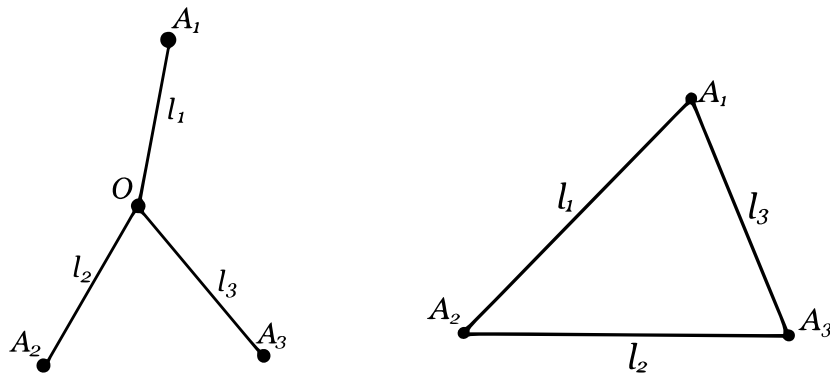


Рис. 5.1. Триод и треугольник

Для триодической тройки ломаных  $l_1, l_2, l_3$  **триодическое число Ву**  $wu(l_1, l_2, l_3)$  определяется как число оборотов вектора в результате следующих вращений:

- от вектора  $\overrightarrow{A_1A_2}$  к вектору  $\overrightarrow{A_1A_3}$ , при котором конец вектора движется по  $l_2^{-1}l_3$ , затем
- от вектора  $\overrightarrow{A_1A_3}$  к вектору  $\overrightarrow{A_2A_3}$ , при котором начало вектора движется по  $l_1^{-1}l_2$ , затем
- от вектора  $\overrightarrow{A_2A_3}$  к вектору  $\overrightarrow{A_2A_1}$ , при котором конец вектора движется по  $l_3^{-1}l_1$ , затем
- от вектора  $\overrightarrow{A_2A_1}$  к вектору  $\overrightarrow{A_3A_1}$  по  $l_2^{-1}l_3$ , затем
- от вектора  $\overrightarrow{A_3A_1}$  к вектору  $\overrightarrow{A_3A_2}$  по  $l_1^{-1}l_2$ , затем
- от вектора  $\overrightarrow{A_3A_2}$  к вектору  $\overrightarrow{A_1A_2}$  по  $l_3^{-1}l_1$ .

Это равно удвоенному (нецелому) числу оборотов в результате первых трех из вышеприведенных вращений. Строго говоря,

$$wu(l_1, l_2, l_3) := w'(l_2^{-1}l_3, A_1) + w'(l_1^{-1}l_2, A_3) + w'(l_3^{-1}l_1, A_2) + w'(l_2^{-1}l_3, A_1) + w'(l_1^{-1}l_2, A_3) + w'(l_3^{-1}l_1, A_2) = 2 \left( w'(l_2^{-1}l_3, A_1) + w'(l_1^{-1}l_2, A_3) + w'(l_3^{-1}l_1, A_2) \right).$$

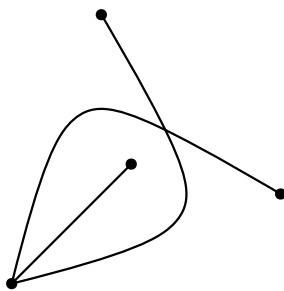


Рис. 5.2. Тройка ломаных с триодическим числом  $V_u \pm 3$

**Пример 5.1.** (a) Для трех отрезков  $l_1, l_2, l_3$ , соединяющих вершины  $A_1, A_2, A_3$  правильного треугольника с его центром  $O$  соответственно, триодическое число  $V_u$  равно  $\pm 1$  (рисунок 5.1, слева).

(b) Для тройки ломаных на рисунке 5.2 триодическое число  $V_u$  равно  $\pm 3$ .

(c) Для любого вложения  $f : K_{3,1} \rightarrow \mathbb{R}^2$  триодическое число  $V_u$  равно  $\pm 1$ .

(d) Для триодической тройки ломаных  $l_1, l_2, l_3$  перестановка ломаных умножает их триодическое число  $V_u$  на знак перестановки.

**Утверждение 5.2.** Для любой триодической тройки ломаных триодическое число  $W$  нечетно.

*Доказательство.* Обозначим через  $l_1, l_2, l_3$  ломаные, образующие триодическую тройку. Имеем

$$\begin{aligned}
 wu(l_1, l_2, l_3) &\stackrel{(1)}{=} \\
 &2 \left( \frac{\angle A_2 A_1 A_3}{2\pi} + k_1 + \right. \\
 &\left. \frac{\angle A_3 A_2 A_1}{2\pi} + k_2 + \frac{\angle A_1 A_3 A_2}{2\pi} + k_3 \right) = \\
 &= 2(k_1 + k_2 + k_3) + \\
 &2 \frac{\angle A_2 A_1 A_3 + \angle A_3 A_2 A_1 + \angle A_1 A_3 A_2}{2\pi} \\
 &= 2(k_1 + k_2 + k_3) + 1
 \end{aligned}$$

для некоторых целых  $k_1, k_2, k_3$ . □

**Пример 5.3.** Для любого целого  $n$  существует триодическая тройка ломаных, триодическое число  $V$  которых равно  $2n + 1$ .

Пример для  $n = 2$  приведен на рисунке 5.3 слева.

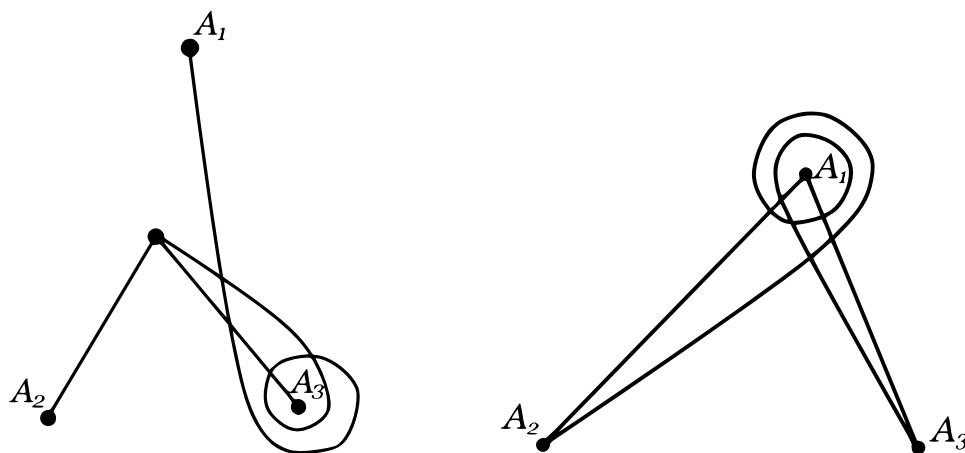


Рис. 5.3. Тройка ломаных, триодическое/циклическое (слева/справа) число  $V$  которой равно 5

## 6. СВЯЗЬ ИНВАРИАНТОВ ДРУГ С ДРУГОМ

...и с гомологиями взрезанного квадрата графа [DMN+, §5].

Нечетность числа  $W(f)$  для почти вложения  $f : K_4 \rightarrow \mathbb{R}^2$  вытекает из утверждения 6.1.а и нечетности триодического числа  $Wu$  (утверждение 5.2).

Для почти вложения  $f : K_4 \rightarrow \mathbb{R}^2$  и  $\{i, j, p, q\} = [4]$  обозначим

$$wu_f(ij, ip, iq) := wu(f|_{ij}, f|_{ip}, f|_{iq}).$$

**Утверждение 6.1.** *Для любого почти вложения  $f : K_4 \rightarrow \mathbb{R}^2$  имеем*

$$(a) \quad W_f = wu_f(41, 42, 43) = wu_f(31, 34, 32) = wu_f(21, 23, 24) = wu_f(12, 14, 13).$$

*Набросок доказательства.* (Как можно придумать эти формулы, написано в замечании 6.2.b.)

Будем неявно использовать определения чисел  $Wu$ , а также следующие равенства:

- $w_f(ijk, v) = w'_f(ij, v) + w'_f(jk, v) + w'_f(ki, v)$ , если  $\{i, j, k, v\} = [4]$ ;

- $w'_f(ij, v) = -w'_f(ji, v)$  для любого ребра  $ij$  и вершины  $v \notin ij$ .

Для  $\{i, j, p, q\} = [4]$  обозначим

$$\partial_f(ij \times pq) :=$$

$$w'_f(ij, p) + w'_f(pq, j) + w'_f(ji, q) + w'_f(qp, i).$$

Поскольку  $f$  является почти вложением, то  $\partial_f(ij \times pq) = 0$  для любых  $\{i, j, p, q\} = [4]$ .

$\partial_f(12 \times 34)$	$\partial_f(23 \times 14)$	$\partial_f(31 \times 24)$	
$+2w'_f(21, 3)$	$+2w'_f(32, 1)$	$+2w'_f(13, 2)$	
$+2w'_f(12, 4)$	$+2w'_f(23, 4)$	$+2w'_f(31, 4)$	
$w'_f(43, 1)$	$w'_f(32, 1)$	$w'_f(24, 1)$	$-w'_f(234, 1)$
$w'_f(34, 2)$	$w'_f(41, 2)$	$w'_f(13, 2)$	$w'_f(134, 2)$
$w'_f(21, 3)$	$w'_f(14, 3)$	$w'_f(42, 3)$	$-w'_f(124, 3)$
$w'_f(12, 4)$	$w'_f(23, 4)$	$w'_f(31, 4)$	$w'_f(123, 4)$
$\partial_f(12 \times 43)$	$\partial_f(23 \times 41)$	$\partial_f(31 \times 42)$	
$+2w'_f(43, 1)$	$+2w'_f(41, 2)$	$+2w'_f(24, 1)$	
$+2w'_f(34, 2)$	$+2w'_f(14, 3)$	$+2w'_f(42, 3)$	

Рис. 6.1. Различные группировки слагаемых в сумме  $W_f$

Первое равенство пункта (а) доказывается так:

$$\begin{aligned}
 & W_f \stackrel{(1)}{=} \\
 & = 2 \left( w'_f(24, 1) + w'_f(43, 1) + w'_f(14, 3) + \right. \\
 & \quad \left. w'_f(42, 3) + w'_f(34, 2) + w'_f(41, 2) \right) + \\
 & + \partial_f(12 \times 43) + \partial_f(23 \times 41) + \partial_f(13 \times 24) = \\
 & = \text{wu}_f(41, 42, 43).
 \end{aligned}$$

$\partial(12 \times 34)$	$\partial(23 \times 14)$	$\partial(31 \times 24)$	
$+2(21 \times 3)$	$+2(32 \times 1)$	$+2(13 \times 2)$	
$+2(12 \times 4)$	$+2(23 \times 4)$	$+2(31 \times 4)$	
$43 \times 1$	$32 \times 1$	$24 \times 1$	$-(234 \times 1)$
$34 \times 2$	$41 \times 2$	$13 \times 2$	$134 \times 2$
$21 \times 3$	$14 \times 3$	$42 \times 3$	$-(124 \times 3)$
$12 \times 4$	$23 \times 4$	$31 \times 4$	$123 \times 4$
$\partial(12 \times 43)$	$\partial(23 \times 41)$	$\partial(31 \times 42)$	
$+2(43 \times 1)$	$+2(41 \times 2)$	$+2(24 \times 1)$	
$+2(34 \times 2)$	$+2(14 \times 3)$	$+2(42 \times 3)$	

Рис. 6.2. Различные группировки слагаемых в сумме  $W_f$  (в кратких обозначениях)

□

**Замечание 6.2.** (а) Формулы из доказательства утверждения 6.1 упростятся, если переобозначить  $C \times_f v := w_f(C, v)$  для ориентированного цикла  $C$  в графе, и  $C \times_f v := w'_f(C, v)$  для ориентированного пути  $C$  в графе. Кроме того, можно убрать индексы  $f$  (не влияющие на преобразования). См. рисунок 6.2. Тем самым, при доказательстве утверждения 6.1 «не обязательно» помнить ни о сумме углов, через которую определяются числа оборотов и числа Ву, ни об отображении  $f$ .

Это упрощение — проявление того, что за утверждением 6.1 стоят соотношения между *целочисленными одномерными циклами* во *взрезанном квадрате* графа  $K_4$  [DMN+, §5]. Эти соотношения можно применять не только к доказательству утверждений типа 6.1, но и к их придумыванию (ибо вместо формул можно смотреть на картинки). Эти соотношения можно применять и к другим задачам.

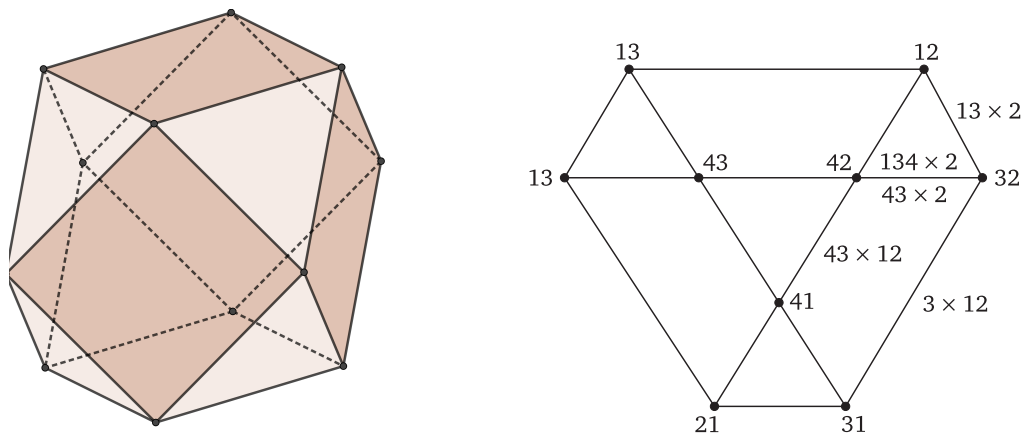


Рис. 6.3. Слева: магический кубооктаэдр. Справа: пояснение к магической формуле (не показана невидимая часть, проекция которой получена из изображения проекции вращением на  $\pi/3$ ; нижнее 13 должно быть 23).

(b) (как придумать и геометрически интерпретировать утверждение 6.1.a) На рисунке 6.3

- $4 \times 123$  — центральный треугольник,
- $123 \times 4$  — невидимый центральный треугольник,
- $24 \times 13$  — нижняя левая трапецевидная грань,
- $13 \times 24$  — верхняя правая невидимая трапецевидная грань,

- $\text{triod}(123, 4) := 12, 14, 13, 43, 23, 24, \dots$ , где точками обозначена часть, симметричная написанной (получена заменой  $xy$  на  $yx$ ); этот цикл разбивает кубооктаэдр на две равные части.

Интерпретация равенства  $W_f = wu_f(41, 42, 43)$ :

$$\begin{aligned} & \text{triod}(123, 4) + \partial(12 \times 43) + \partial(23 \times 41) + \partial(31 \times 42) = \\ & = -234 \times 1 + 134 \times 2 - 124 \times 3 + 123 \times 4. \end{aligned}$$

**Замечание 6.3** (классификация почти вложений). (а) Непрерывная деформация (почти) вложения, в каждый момент которой отображение остается (почти) вложением, называется *(почти) изотопией*. Числа оборотов  $w_f(C, v)$ , числа  $V_u$  и инварианты, упоминаемые далее, являются инвариантами (почти) вложения  $f : K \rightarrow \mathbb{R}^2$  относительно (почти) изотопии.

(b) Для почти вложения графа в плоскость рассмотрим триодические числа  $V_u$  его сужений на всевозможные триоды в графе. Для любого дерева если все эти числа у двух *вложений* равны, то эти вложения изотопны.

**Гипотеза.** *Для любого дерева (или хотя бы для графа  $K_{n,1}$ ) если все триодические числа  $V_u$  сужений на всевозможные триоды в дереве у двух почти вложений равны, то эти почти вложения почти изотопны.*

(c) Для почти вложения графа в плоскость рассмотрим триодические и циклические числа  $V_u$  его сужений на всевозможные триоды и циклы в графе. Для любого графа если все эти числа у двух *вложений* равны, то эти вложения изотопны.

**Гипотеза.** *Для любого графа если все триодические и циклические числа  $V_u$  сужений на всевозможные триоды и циклы в графе у двух почти вложений равны, то эти почти вложения почти изотопны.*

**Замечание 6.4.** Кроме чисел оборотов  $w_f(C, v)$  и чисел  $V_u$  имеются аналогичные «оборотные» инварианты почти вложений. (Каждый из них соответствует некоторому *целочисленному одномерному циклу* во взрезанном квадрате графа [DMN+, §5].)

Например,  *$n$ -одические числа  $V_u$*  можно аналогично определить для  $n$  ломаных с общей вершиной, образующих почти вложение графа  $K_{n,1}$ .

**Гипотеза.** *Любой «оборотный» инвариант почти вложений является линейной комбинацией с рациональными коэффициентами триодических и циклических чисел  $V_u$ , а также чисел оборотов.*

Аналог этой гипотезы по модулю 2 (даже без чисел оборотов, но для «симметричных» инвариантов) вытекает из описания Е. Бордачевой (2024) порождающих в одномерной группе гомологий по модулю 2 взрезанного квадрата графа.

## 7. ТРЕХМЕРНЫЕ АНАЛОГИ

**Теорема 7.1** (Линейная теорема Конвея-Гордона-Закса). *Если никакие четыре из шести точек в трехмерном пространстве не лежат в одной плоскости, то существуют два зацепленных треугольника с вершинами в этих шести точках (т. е. первый треугольник пересекает контур второго треугольника ровно в одной точке).*

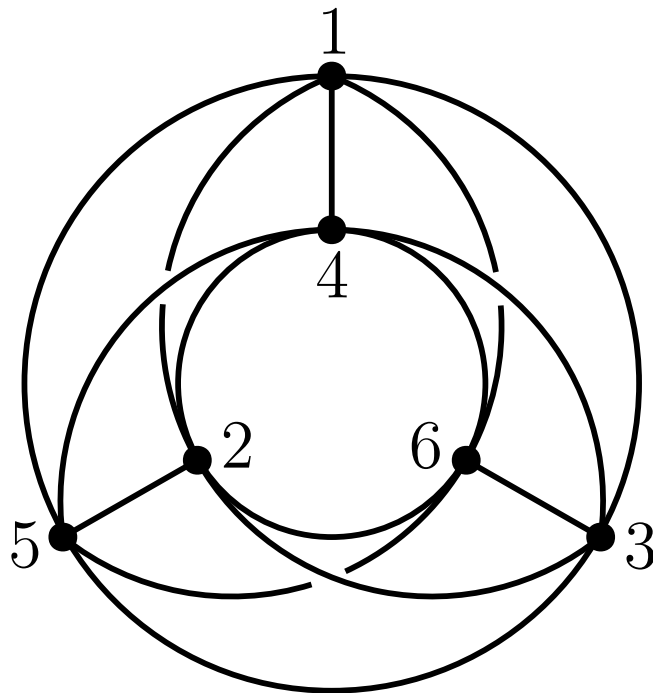


Рис. 7.1. Проекция на плоскость вложения  $K_6 \rightarrow \mathbb{R}^3$

**Пример 7.2.** (а) Для любого целого  $n$  в трехмерном пространстве существуют шесть точек, а также попарно соединяющие их несамопересекающиеся ломаные, для которых

(а1) никакая из ломаных не пересекает внутренность другой ломаной,

(а2) коэффициент зацепления одной (неупорядоченной) пары непересекающихся циклов длины 3, образованных ломаными, равен  $2n + 1$ , а также

(а3) коэффициент зацепления любой другой пары непересекающихся циклов длины 3, образованных ломаными, равен нулю.

(б) (гипотеза) Возьмем любые 10 целых чисел  $n_{123,456}, n_{124,356}, \dots$ , соответствующие 10 неупорядоченным разбиениям множества [6] на два 3-элементных подмножества. Если сумма этих чисел нечетна, то в трехмерном пространстве существуют шесть точек 1, 2, 3, 4, 5, 6, а также попарно соединяющие их несамопересекающиеся ломаные, для которых выполнено (а1), и коэффициент зацепления каждой пары  $\{ijk, pqr\}$  непересекающихся циклов длины 3, образованных ломаными, равен  $n_{ijk,pqr}$ .

## СПИСОК ЛИТЕРАТУРЫ

- [ABMt] \* Э. Алкин, Е. Бордачева, А. Мирошников, О. Никитенко, А. Скопенков, Инварианты почти вложений графов в плоскость, <https://turgor.ru/lktg/2024/3/index.html>.
- [ALM] E. Alkin, A. Lazarev, A. Miroshnikov, On winding numbers of almost embeddings of  $K_4$  in the plane, draft.
- [BF09] K. Barnett, M. Farber. Topology of Configuration Space of Two Particles on a Graph, I. *Algebr. Geom. Topol.* 9 (2009) 593–624. arXiv:0903.2180.
- [Bo] E. Bordacheva. Symmetric 1-cycles in the deleted product of graph, [https://old.mccme.ru//circles//oim/cath\\_bord\\_present.pdf](https://old.mccme.ru//circles//oim/cath_bord_present.pdf).
- [DMN+] \* С. Дженджер, А. Мирошников, О. Никитенко и А. Скопенков. Циклы в графах и в гиперграфах, arXiv:2406.16705.
- [FK19] R. Fulek, J. Kynčl,  $\mathbb{Z}_2$ -genus of graphs and minimum rank of partial symmetric matrices, 35th Intern. Symp. on Comp. Geom. (SoCG 2019), Article No. 39; pp. 39:1–39:16, <https://drops.dagstuhl.de/opus/volltexte/2019/10443/pdf/LIPICs-SoCG-2019-39.pdf>. We refer to numbering in arXiv version: arXiv:1903.08637.
- [Ga23] T. Garaev, On drawing  $K_5$  minus an edge in the plane, arXiv:2303.14503.
- [IKN+] A. Inoue, N. Kimura, R. Nikkuni, K. Taniyama, Crossing numbers and rotation numbers of cycles in a plane immersed graph, *J. of Knot Theory and Its Ramif.* 31:11, 2250076 (2022). arXiv:2205.01013.
- [KK18] \* А. Канель-Белов, П. Кожевников, О кратности покрытия ориентированными многоугольниками, *Квант*, N5 (2018), 20–24, <https://kvant.mccme.ru/pdf/2018/2018-05.pdf>.
- [KS20] R. Karasev and A. Skopenkov. Some ‘converses’ to intrinsic linking theorems, *Discr. Comp. Geom.*, 70:3 (2023), 921–930, arXiv:2008.02523.
- [RS] \* Введение в топологию (дискретные структуры и алгоритмы в топологии), курс А. Руховича и А. Скопенкова, <https://old.mccme.ru//circles//oim/home/combtop13.htm#fivt>.
- [Sk06] \* А. Скопенков, Embedding and knotting of manifolds in Euclidean spaces, *London Math. Soc. Lect. Notes*, 347 (2008) 248–342. arXiv:math/0604045.
- [Sk14] \* А. Скопенков, Реализуемость гиперграфов и неотъемлемая зацепленность, *Мат. просвещение*, 32 (2024), 125–159. arXiv:1402.0658.
- [Sk16] \* А. Скопенков, A user’s guide to the topological Tverberg Conjecture, arXiv:1605.05141v5. Abridged earlier published version: *Russian Math. Surveys*, 73:2 (2018), 323–353.
- [Sk18] \* А. Скопенков, Инварианты изображений графов на плоскости, *Мат. просвещение*, 31 (2023), 74–127. arXiv:1805.10237.
- [Sk20] \* А. Скопенков, Алгебраическая топология с геометрической точки зрения, Москва, МЦНМО, 2020 (2е издание). Часть книги: <http://www.mccme.ru/circles/oim/obstruct.pdf>
- [Sk20u] \* А. Скопенков. Основы теории узлов и зацеплений для пользователя, *Мат. просвещение*, 27 (2021), 128–165. arXiv:2001.01472.
- [Sk24] \* А. Скопенков. Двойные и тройные коэффициенты зацепления в пространстве. *Мат. просвещение*, 33 (2024), 87–132.
- [Sk] \* А. Скопенков. Алгебраическая топология с алгоритмической точки зрения, <http://www.mccme.ru/circles/oim/algor.pdf>.
- [SS13] M. Schaefer and D. Stefankovič. Block additivity of  $\mathbb{Z}_2$ -embeddings. In *Graph drawing*, volume 8242 of *Lecture Notes in Comput. Sci.*, 185–195. Springer, Cham, 2013. <http://ovid.cs.depaul.edu/documents/genus.pdf>
- [ST17] A. Skopenkov and M. Tancer, Hardness of almost embedding simplicial complexes in  $\mathbb{R}^d$ , *Discr. Comp. Geom.*, 61:2 (2019), 452–463. arXiv:1703.06305.
- [Ta88] \* С. Табачников, О плоских кривых, *Квант*, N11 (1988), 59–63, [https://kvant.mccme.ru/1988/11/o\\_ploskih\\_krivyh.htm](https://kvant.mccme.ru/1988/11/o_ploskih_krivyh.htm)
- [To84] \* А. Тоом, Сколько площадей у многоугольника? *Квант*, N12 (1984), 9–12, [https://kvant.mccme.ru/1984/12/skolko\\_ploshchadej\\_u\\_mnogougol.htm](https://kvant.mccme.ru/1984/12/skolko_ploshchadej_u_mnogougol.htm)
- [Va81] \* Н. Вагутен, Формула площади, *Квант*, N4 (1981), 17–20, [https://kvant.mccme.ru/1981/04/formula\\_ploshchadi.htm](https://kvant.mccme.ru/1981/04/formula_ploshchadi.htm)
- [Wn] \* [https://ru.wikipedia.org/wiki/Число\\_оборотов](https://ru.wikipedia.org/wiki/Число_оборотов)
- [Za] M. Zakharov, On triodic and cyclic Wu numbers of almost embeddings of  $K_4$  in the plane, draft.

Все авторы: МОСКОВСКИЙ ФИЗИКО-ТЕХНИЧЕСКИЙ ИНСТИТУТ.

А. Скопенков: НЕЗАВИСИМЫЙ МОСКОВСКИЙ УНИВЕРСИТЕТ, [HTTPS://USERS.MCCME.RU/SKOPENKO/](https://users.mccme.ru/skopenko/).